

전극 효과를 고려한 마이크로 3축 링 자이로스코프의 동역학

Dynamics of a Micro Three-axis Ring Gyroscope Considering Electrode Effects

김 창 부[†] · 강 태 민*

Chang-Boo Kim and Tae-Min Kang

(2003년 10월 14일 접수 : 2003년 12월 9일 심사완료)

Key Words : Ring Gyroscope(링 자이로스코프), Three-axis(3축), Angular Velocity(각속도), Cyclic Symmetry(순환대칭), Electrode(전극), In-plane Motion(면내운동), Out-of-plane Motion(면외운동), Natural Mode(고유모드)

ABSTRACT

In this paper, we analyse and present electro-mechanical dynamic characteristics of a micro-machined vibrating silicon ring gyroscope which can measure angular velocities about three orthogonal axes. The ring gyroscope has a ring connected to the gyroscope main body by support-ligaments which are arranged with cyclic symmetry. The natural modes of its vibration can be distinguished into the in-plane motion and the out-of-plane motion which are coupled by the gyro-effect due to the rotation of the gyroscope main body. The motions of the ring are electro-statically derived, sensed and balanced by electrodes. The equations of motion are formulated. The measuring method of angular velocities by force-to-rebalance is presented. The dynamic characteristics of a ring gyroscope are calculated and compared.

1. 서 론

최근에 고성능 및 다축의 마이크로 자이로스코프의 개발이 필요함에 따라 링 자이로스코프에 관한 연구가 활발히 진행되고 있다.⁽¹⁾

Putty와 Najafi⁽²⁾는 링과 반원 모양의 지지스프링으로 이루어진 구조에 가진 및 감지를 하고 미세 튜닝을 할 수 있는 전극을 주변에 배치한 진동형 링 자이로스코프를 개발하였다. Putty⁽³⁾는 순환대칭형 링 자이로스코프의 구조에 대한 연구에서 링의 지지대가 최소 8개 이상이어야 함과 다른 구조에 비해 의사진

동과 온도에 민감하지 않고 대칭형 구조가 회전을 감지하는데 우수함을 밝혔다.

Eley 등⁽⁴⁾은 3축의 각속도를 측정할 수 있는 링 구조의 해석을 통해 면내운동과 면외운동 사이에 발생하는 코리올리 연성 효과에 대해 연구하였다. 또한, Gallacher 등⁽⁵⁾은 링과 크랭크 모양의 지지대로 이루어진 순환대칭 구조의 면내와 면외 진동특성을 이용한 3축 실리콘 링 자이로스코프를 제안하고 링의 폭과 두께의 조정을 통해 진동수를 일치시키는 방법과 정전기력을 이용한 진동수 튜닝에 대해 연구하였다.

참고논문(6)에서는 Gallacher 등⁽⁵⁾의 논문을 기준으로 마이크로 3축 링 자이로스코프의 설계에 필요한 기계적 동역학 특성들을 체계적으로 검토하고 해석하여 그 결과를 제시하였다.

본 논문에서는 참고논문(6)의 내용을 연장하여 링을 가진하거나 링의 변위를 감지하고 고유진동수의

* 책임저자 : 정희원, 인하대학교 기계공학부

E-mail : kimcb@inha.ac.kr

Tel : (032) 860-7383, Fax : (032) 868-1716

† 정희원, 인하대학교 대학원 기계공학과

균형을 잡는 전극의 정전효과를 고려하면서 링의 굽힘 전단, 인장 및 회전관성과 지지대의 질량 및 굽힘 전단을 고려한 마이크로 3축 링 자이로스코프의 운동 방정식을 체계적으로 유도하고, 또한 그 동역학 특성들을 검토하고 해석하여 그 결과를 제시하고자 한다.

2. 링 자이로스코프의 운동 및 변형

2.1 링 자이로스코프의 구조

링 자이로스코프는 자유롭게 움직일 수 있는 링이 원주방향으로 주기적으로 배열된 N 개의 지지대에 연결되어 있고 지지대는 자이로스코프 본체에 고정된 구조를 갖고 있다. 링은 폭 b , 두께 t 인 사각단면을 갖고 있고 평균반경이 a 이다. 지지대는 크랭크 형상 을 갖고 있고 길이가 각각 L_1, L_2, L_3 이며 단면은 폭 h , 두께 t 인 사각단면이다.

자이로스코프 본체에 고정된 본체 좌표계 $Oxyz$ 는 각속도 $\vec{\Omega}$ 로 회전하며, 각속도 $\vec{\Omega}$ 의 본체 좌표계에 대한 성분은 $\Omega_x, \Omega_y, \Omega_z$ 이다.

링의 외부와 하부에 원주방향으로 배열된 전극 (electrode)은 링과 전극사이의 정전용량(capacitance)의 변화에 의해서 링을 가진하거나 링의 변위를 감지하고 고유진동수의 균형을 잡는다.

2.2 링의 운동

x 축에서 원주방향으로 θ 만큼 떨어진 링 단면의 중심 C 점에 반경방향, 원주방향, 수직방향의 축을 갖는 단면 좌표계 $C\xi\eta\zeta$ 를 설정하면 C 점의 변위 \vec{u}_C 및 단면의 회전 $\vec{\phi}_C$ 는 θ 만의 함수로서 다음과 같이 표현된다.

$$\vec{u}_C = u_\xi \vec{e}_\xi + u_\eta \vec{e}_\eta + u_\zeta \vec{e}_\zeta \quad (1)$$

$$\vec{\phi}_C = \phi_\xi \vec{e}_\xi + \phi_\eta \vec{e}_\eta + \phi_\zeta \vec{e}_\zeta \quad (2)$$

여기서 $\vec{e}_\xi, \vec{e}_\eta, \vec{e}_\zeta$ 는 ξ, η, ζ 방향의 단위 벡터이다.

회전 $\vec{\phi}_C$ 가 매우 작다고 가정하면, C 점을 통과하는 링 중심선에 수직한 단면상의 임의의 한 점 P 점의 변위 \vec{u}_P 는 다음과 같다.

$$\vec{u}_P = \vec{u}_C + \vec{\phi}_C \times \vec{\rho} \quad (3)$$

여기서

$$\vec{\rho} = \overrightarrow{CP} = \xi \vec{e}_\xi + \zeta \vec{e}_\zeta$$

따라서 변형후의 C 점 및 P 점의 위치는 다음과 같다.

$$\vec{r}_C = a \vec{e}_\xi + \vec{u}_C \quad (4)$$

$$\vec{r}_P = \vec{r}_C + \vec{\rho} + \vec{\phi}_C \times \vec{\rho} \quad (5)$$

자이로스코프 본체 좌표계 $Oxyz$ 는 순간 각속도 $\vec{\Omega}$ 로 회전하고 있으므로 변형 후의 C 점 및 P 점의 속도는 다음과 같다.

$$\vec{v}_C = \vec{\Omega} \times \vec{r}_C + \vec{u}_{Crel} \quad (6)$$

$$\vec{v}_P = \vec{v}_C + \vec{\Omega} \times \vec{\rho} + \vec{\Omega} \times (\vec{\phi}_C \times \vec{\rho}) + \vec{\phi}_{Crel} \times \vec{\rho} \quad (7)$$

여기서

$$\vec{u}_{Crel} = \dot{u}_\xi \vec{e}_\xi + \dot{u}_\eta \vec{e}_\eta + \dot{u}_\zeta \vec{e}_\zeta$$

$$\vec{\phi}_{Crel} = \dot{\phi}_\xi \vec{e}_\xi + \dot{\phi}_\eta \vec{e}_\eta + \dot{\phi}_\zeta \vec{e}_\zeta$$

$$\vec{\Omega} = (\Omega_x \cos \theta + \Omega_y \sin \theta) \vec{e}_\xi$$

$$+ (-\Omega_x \sin \theta + \Omega_y \cos \theta) \vec{e}_\eta + \Omega_z \vec{e}_\zeta$$

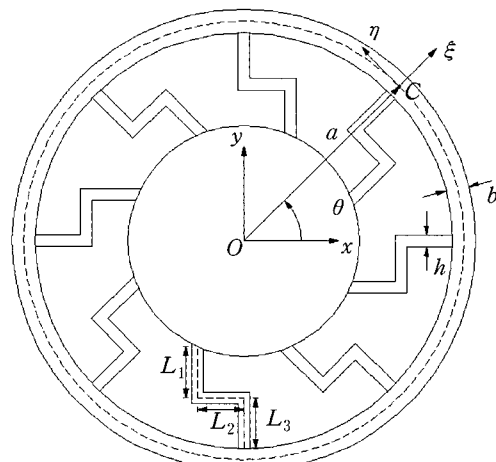


Fig. 1 Geometry of a ring gyroscope

2.3 링의 순환대칭 운동

링의 운동은 x - y 면에 대하여 면내운동 및 면외운동으로 구분될 수 있다. 링의 면내변위는 u_ξ, u_η, ϕ_ξ 이고, 면외변위는 $u_\zeta, \phi_\xi, \phi_\eta$ 이다.

링의 면내운동을 n 개의 절직경수를 갖는 순환대칭의 단순조화형이라고 가정하면 면내변위는 다음과 같이 표현된다.

$$\begin{aligned} u_\xi &= u_{\xi C} \cos n\theta + u_{\xi S} \sin n\theta \\ u_\eta &= u_{\eta C} \cos n\theta + u_{\eta S} \sin n\theta \\ \phi_\xi &= \phi_{\xi C} \cos n\theta + \phi_{\xi S} \sin n\theta \end{aligned} \quad (8)$$

링의 면외운동을 m 개의 절직경수를 갖는 순환대칭의 단순조화형이라고 가정하면 면외변위는 다음과 같이 표현된다.

$$\begin{aligned} u_\zeta &= u_{\xi C} \cos m\theta + u_{\xi S} \sin m\theta \\ \phi_\xi &= \phi_{\xi C} \cos m\theta + \phi_{\xi S} \sin m\theta \\ \phi_\eta &= \phi_{\eta C} \cos m\theta + \phi_{\eta S} \sin m\theta \end{aligned} \quad (9)$$

2.4 운동에너지

$m = n+1$ 혹은 $m = n-1$ 일 때에만 링의 운동 에너지에서 $\mathcal{Q}_x, \mathcal{Q}_y$ 에 대한 항이 존재한다. 따라서 $m = n+1, n \geq 1$ 의 순환대칭 운동에 대한 링 사이로스코프 구조의 운동에너지는 지지대의 회전으로 인한 영향을 무시하면 다음과 같다.

$$T = T_R + T_S = T_R + T_{SI} + T_{SO} \quad (10)$$

$$\begin{aligned} T_R &= \frac{1}{2} [\dot{u}_{IC}^T M_{RO} \dot{u}_{IC} + \dot{u}_{IS}^T M_{RI} \dot{u}_{IS} \\ &\quad + \dot{u}_{OC}^T M_R \dot{u}_{OC} + \dot{u}_{OS}^T M_{RO} \dot{u}_{OS}] \\ &\quad + \dot{u}_{IC}^T (G_1 u_{IC} + G_2 u_{OC} + G_3 u_{OS}) \\ &\quad + \dot{u}_{IS}^T (G_1 u_{IS} + G_2 u_{OS} - G_3 u_{OC}) \\ &\quad + \dot{u}_{OC}^T (G_4 u_{OC} - G_2^T u_{IC} + G_3^T u_{IS}) \\ &\quad + \dot{u}_{OS}^T (G_4 u_{OS} - G_2^T u_{IS} - G_3^T u_{IC}) \end{aligned}$$

$$T_{SI} = \frac{1}{2} \left[\frac{N}{2} (\dot{u}_{IC}^T M_{LI} \dot{u}_{IC} + \dot{u}_{IS}^T M_{LI} \dot{u}_{IS}) \right]$$

$$T_{SO} = \frac{1}{2} \left[\frac{N}{2} (\dot{u}_{OC}^T M_{LO} \dot{u}_{OC} + \dot{u}_{OS}^T M_{LO} \dot{u}_{OS}) \right]$$

여기서

$$u_{IC} = (u_{\xi C}, u_{\eta C}, \phi_{\xi C})^T, \quad u_{IS} = (u_{\xi S}, u_{\eta S}, \phi_{\xi S})^T$$

$$u_{OC} = (u_{\xi C}, \phi_{\xi C}, \phi_{\eta C})^T, \quad u_{OS} = (u_{\xi S}, \phi_{\xi S}, \phi_{\eta S})^T$$

$$M_{RI} = \pi \rho A a \begin{bmatrix} 1 & 0 & 0 \\ 0 & 1 & 0 \\ 0 & 0 & \mu_\xi a^2 \end{bmatrix}$$

$$M_{RO} = \pi \rho A a \begin{bmatrix} 1 & 0 & 0 \\ 0 & \mu_\xi a^2 & 0 \\ 0 & 0 & \mu_\eta a^2 \end{bmatrix}$$

$$G_1 = \frac{1}{2} \pi \rho A a \begin{bmatrix} 0 & -2\mathcal{Q}_z & 0 \\ 2\mathcal{Q}_z & 0 & 0 \\ 0 & 0 & 0 \end{bmatrix}$$

$$G_2 = \frac{1}{2} \pi \rho A a \begin{bmatrix} \mathcal{Q}_y & 0 & 0 \\ -\mathcal{Q}_x & 0 & 0 \\ 0 & 0 & \mathcal{Q}_x \mu_\xi a^2 \end{bmatrix}$$

$$G_3 = \frac{1}{2} \pi \rho A a \begin{bmatrix} -\mathcal{Q}_x & 0 & 0 \\ -\mathcal{Q}_y & 0 & 0 \\ 0 & 0 & \mathcal{Q}_y \mu_\xi a^2 \end{bmatrix}$$

$$G_4 = \frac{1}{2} \pi \rho A a \begin{bmatrix} 0 & 0 & 0 \\ 0 & 0 & -2\mathcal{Q}_z \mu_\xi a^2 \\ 0 & 2\mathcal{Q}_z \mu_\xi a^2 & 0 \end{bmatrix}$$

$$\mu_\xi = \frac{\rho I_\xi}{\rho A a^2}, \quad \mu_\zeta = \frac{\rho I_\zeta}{\rho A a^2}, \quad \mu_\eta = \mu_\xi + \mu_\zeta$$

A, I_ξ, I_ζ 는 링 단면의 면적, ξ, ζ 축에 대한 관성 모멘트이다.

2.5 변형에너지

$m = n+1, n \geq 1$ 의 순환대칭 운동에 대한 링 사이로스코프 구조의 변형에너지는 다음과 같다.

$$V = V_R + V_S = V_{RI} + V_{RO} + V_{SI} + V_{SO} \quad (11)$$

$$\begin{aligned} V_{RI} &= \frac{1}{2} [\dot{u}_{IC}^T (K_{RIS} u_{IC} - K_{RIA} u_{IS}) \\ &\quad + \dot{u}_{IS}^T (K_{RIS} u_{IS} + K_{RIA} u_{IC})] \end{aligned}$$

$$\begin{aligned} V_{RO} &= \frac{1}{2} [\dot{u}_{OC}^T (K_{ROS} u_{OC} - K_{ROA} u_{OS}) \\ &\quad + \dot{u}_{OS}^T (K_{ROS} u_{OS} + K_{ROA} u_{OC})] \end{aligned}$$

$$V_{SI} = \frac{1}{2} [\frac{N}{2} (\dot{u}_{IC}^T K_{LI} u_{IC} + \dot{u}_{IS}^T K_{LI} u_{IS})]$$

$$V_{SO} = \frac{1}{2} [\frac{N}{2} (\dot{u}_{OC}^T K_{LO} u_{OC} + \dot{u}_{OS}^T K_{LO} u_{OS})]$$

여기서

$$K_{RIS} = \frac{\pi EI_\xi}{a^3} \begin{bmatrix} c_{RIS11} & 0 & 0 \\ 0 & c_{RIS22} & c_{RIS23} \\ 0 & c_{RIS23} & c_{RIS33} \end{bmatrix}$$

$$c_{RIS11} = 1 + \left(\frac{a}{r_\xi}\right)^2 + n^2 s_\xi$$

$$c_{RIS22} = n^2 + \left(\frac{a}{r_\xi}\right)^2 n^2 + s_\xi$$

$$c_{RIS23} = -an^2 - as_\xi$$

$$c_{RIS33} = a^2 n^2 + a^2 s_\xi$$

$$K_{RIA} = \frac{\pi EI_\xi}{a^3} \begin{bmatrix} 0 & c_{RIA12} & c_{RIA13} \\ -c_{RIA12} & 0 & 0 \\ -c_{RIA13} & 0 & 0 \end{bmatrix}$$

$$c_{RIA12} = -n - \left(\frac{a}{r_\xi}\right)^2 n - ns_\xi$$

$$c_{RIA13} = an + ans_\xi$$

$$r_\xi = \sqrt{\frac{EI_\xi}{EA}}, \quad s_\xi = \frac{KGa^2}{EI_\xi}$$

$$K_{ROS} = \frac{\pi EI_\xi}{a^3} \begin{bmatrix} c_{ROS11} & 0 & 0 \\ 0 & c_{ROS22} & 0 \\ 0 & 0 & c_{ROS33} \end{bmatrix}$$

$$c_{ROS11} = m^2 s_\xi$$

$$c_{ROS22} = a^2 m^2 + \beta a^2 + a^2 s_\xi$$

$$c_{ROS33} = a^2 + \beta a^2 m^2$$

$$K_{ROA} = \frac{\pi EI_\xi}{a^3} \begin{bmatrix} 0 & c_{ROA12} & 0 \\ -c_{ROA12} & 0 & c_{ROA23} \\ 0 & -c_{ROA23} & 0 \end{bmatrix}$$

$$c_{ROA12} = -ams_\xi$$

$$c_{ROA23} = -a^2 m - \beta a^2 m$$

$$\beta = \frac{GJ_\eta}{EI_\xi}, \quad s_\xi = \frac{KGa^2}{EI_\xi}$$

E 는 Young 계수, G 는 전단계수이며, K 는 사각 단면의 굽힘 전단계수, J_η 는 사각단면의 비틀림 관성 모멘트이다⁽⁶⁾.

M_{LL}, M_{LO} 와 K_{LL}, K_{LO} 는 링 단면중심 C 점에 축약된 지지대 한 개의 면내 및 면외 질량행렬과 면내 및 면외 강성행렬로서 해석적 방법 또는 유한요소법과 Guyan 자유도 축소 방법을 사용하여 얻어진다.

2.6 전극 위치에너지

$n=2$ 의 순환대칭형이 되도록 원주각 $\Delta\theta_r$ 를 갖는 32개의 반경방향 전극을 0° 부터 시작하여 감지전극, 균형전극, 구동전극, 균형전극 순서로 원주방향으로 배치한다. 링에 극성전압 E_p 을 걸고, 8개의 구동 전극에는 원주방향 순서로 교류전압 $e_{da}, -e_{db}, -e_{da}, e_{db}, e_{da}, -e_{db}, -e_{da}, e_{db}$ 를 전다. 링과 16개의 균형전극 사이에는 동일한 직류전압차 E_r 를 걸고, 8개의 감지전극에서는 원주방향 순서로 링의 순환대칭 진동에 따른 전극용량의 변화로 인한 교류전압 $e_{sa}, e_{sb}, -e_{sa}, -e_{sb}, e_{sa}, e_{sb}, -e_{sa}, -e_{sb}$ 을 증폭기를 통하여 감지된다.

증폭기의 입력 정전용량을 C_{inp} , 바이어스 전압을 E_{bias} 라고 할 때, 감지 출력전압은 다음과 같다.⁽³⁾

$$e_{sa} = b_{\xi u} u_{\xi C}$$

$$e_{sb} = b_{\xi u} u_{\xi S} \quad (12)$$

여기서

$$b_{\xi u} = \frac{E_s}{(C_{inp} + C_{rs})} \frac{\varepsilon r_0 t}{d_{r0}^2} \sin(\Delta\theta_r)$$

$$E_s = E_p - E_{bias}$$

$$C_{rs} = \frac{\varepsilon r_0 t}{d_{r0}} \Delta\theta_r$$

$$r_0 = a + b/2$$

d_{r0} 는 평형상태에서의 반경방향 공격(gap spacing)이고, ε 은 진공 유전율(permittivity)이다.

$m=3$ 의 순환대칭형이 되도록 원주각 $\Delta\theta_z$ 를 갖는 48개의 수직방향 전극을 0° 부터 시작하여 감지전극, 균형전극, 구동전극, 균형전극의 순서로 원주방향으로 배치한다. 12개의 구동전극에는 원주방향 순서로 교류전압 $e_{dc}, -e_{dd}, -e_{dc}, e_{dd}, e_{dc}, -e_{dd}, -e_{dc}, e_{dd}$ 를 전다. 링과 24개의 균형전극 사이에는 동일한 직류전압차 E_z 를 걸고, 12개의 감지전극에서는 원주방향 순서로 링의 순환대칭 진동에 따른 전극용량의 변화로 인한 교류전압 $e_{sc}, e_{sd}, -e_{sc}, -e_{sd}, e_{sc}, e_{sd}, -e_{sc}, -e_{sd}, e_{sc}$

$e_{sd} - e_{sc}$, $-e_{sd}\phi$ 증폭기를 통하여 감지된다. 감지 출력전압은 다음과 같다.

$$\begin{aligned} e_{sc} &= -b_{\xi u} u_{\xi C} + b_{\xi \phi} \phi_{\eta C} \\ e_{sd} &= -b_{\xi u} u_{\xi S} + b_{\xi \phi} \phi_{\eta S} \end{aligned} \quad (13)$$

여기서

$$\begin{aligned} b_{\xi u} &= \frac{E_s}{(C_{inp} + C_{zs})} \frac{\varepsilon ab}{d_{z0}^2} \frac{2}{3} \sin(\frac{3}{2} \triangle \theta_z) \\ b_{\xi \phi} &= \frac{E_s}{(C_{inp} + C_{zs})} \frac{\varepsilon b^3}{12d_{z0}^2} \frac{2}{3} \sin(\frac{3}{2} \triangle \theta_z) \\ C_{zs} &= \frac{\varepsilon ab}{d_{z0}} \triangle \theta_z \end{aligned}$$

d_{z0} 는 평형상태에서의 수직방향 공격이다.

전체 전극의 위치에너지는 다음과 같다.

$$\begin{aligned} V_E &= V_{EI} + V_{EO} \\ V_{EI} &= -\frac{1}{2} [u_{IC}^T K_{EI} u_{IC} + u_{IS}^T K_{EI} u_{IS}] \\ &\quad - [u_{IC}^T a_{EI} e_{\xi C} + u_{IS}^T a_{EI} e_{\xi S}] \\ V_{EO} &= -\frac{1}{2} [u_{OC}^T K_{EO} u_{OC} + u_{OS}^T K_{EO} u_{OS}] \\ &\quad - [u_{OC}^T a_{EO} e_{\xi C} + u_{OS}^T a_{EO} e_{\xi S}] \end{aligned} \quad (14)$$

여기서

$$\begin{aligned} e_{\xi C} &= \frac{1}{\sqrt{2}} (e_{da} + e_{db}), \quad e_{\xi S} = \frac{1}{\sqrt{2}} (e_{da} - e_{db}) \\ e_{\xi C} &= \frac{1}{\sqrt{2}} (e_{dc} + e_{dd}), \quad e_{\xi S} = \frac{1}{\sqrt{2}} (e_{dc} - e_{dd}) \\ K_{EI} &= \begin{bmatrix} k_{ruu} & 0 & 0 \\ 0 & 0 & 0 \\ 0 & 0 & 0 \end{bmatrix}, \quad a_{EI} = \begin{bmatrix} a_{\xi u} \\ 0 \\ 0 \end{bmatrix} \\ K_{EO} &= \begin{bmatrix} k_{zuu} & 0 & k_{zu\phi} \\ 0 & 0 & 0 \\ k_{zu\phi} & 0 & k_{z\phi\phi} + k_{r\phi\phi} \end{bmatrix}, \quad a_{EO} = \begin{bmatrix} a_{\xi u} \\ 0 \\ a_{\xi \phi} \end{bmatrix} \\ k_{ruu} &= k_{druu} + k_{sruu} + k_{bruu} \\ k_{r\phi\phi} &= k_{dr\phi\phi} + k_{sr\phi\phi} + k_{br\phi\phi} \\ k_{zuu} &= k_{dzuu} + k_{szuu} + k_{bzuu} \\ k_{z\phi\phi} &= k_{dz\phi\phi} + k_{sz\phi\phi} + k_{bz\phi\phi} \\ k_{zu\phi} &= k_{dzu\phi} + k_{szu\phi} + k_{bzu\phi} \end{aligned}$$

$$\begin{aligned} a_{\xi u} &= -E_p \frac{\varepsilon r_0 t}{d_{z0}^2} 4 \sin(\triangle \theta_r) \\ a_{\xi u} &= E_p \frac{\varepsilon ab}{d_{z0}^2} 4 \sin(\frac{3}{2} \triangle \theta_z) \\ a_{\xi \phi} &= -E_p \frac{\varepsilon b^3}{12d_{z0}^2} 4 \sin(\frac{3}{2} \triangle \theta_z) \\ k_{druu} &= E_p^2 \frac{\varepsilon r_0 t}{d_{z0}^3} (4 \triangle \theta_r) \\ k_{bruu} &= E_r^2 \frac{\varepsilon r_0 t}{d_{z0}^3} (8 \triangle \theta_r) \\ k_{sruu} &= E_s^2 \frac{\varepsilon r_0 t}{d_{z0}^3} (4 \triangle \theta_r) \\ &\quad - E_s^2 \frac{(2C_{inp} + C_{zs})}{(C_{inp} + C_{zs})^2} \left(\frac{\varepsilon r_0 t}{d_{z0}^2} \sin(\triangle \theta_r) \right)^2 4 \\ k_{dr\phi\phi} &= E_p^2 \frac{\varepsilon r_0 t^3}{12d_{z0}^3} (4 \triangle \theta_r) \\ k_{br\phi\phi} &= E_r^2 \frac{\varepsilon r_0 t^3}{12d_{z0}^3} (8 \triangle \theta_r) \\ k_{sr\phi\phi} &= E_s^2 \frac{\varepsilon r_0 t^3}{12d_{z0}^3} (4 \triangle \theta_r) \\ k_{dzuu} &= E_p^2 \frac{\varepsilon ab}{d_{z0}^3} (6 \triangle \theta_z) \\ k_{dz\phi\phi} &= E_p^2 \frac{\varepsilon ab^3}{12d_{z0}^3} (6 \triangle \theta_z) \\ k_{dzu\phi} &= -E_p^2 \frac{\varepsilon b^3}{12d_{z0}^3} (6 \triangle \theta_z) \\ k_{szuu} &= E_s^2 \frac{\varepsilon ab}{d_{z0}^3} (6 \triangle \theta_z) \\ &\quad - E_s^2 \frac{(2C_{inp} + C_{zs})}{(C_{inp} + C_{zs})^2} \left(\frac{\varepsilon ab}{d_{z0}^2} \frac{2}{3} \sin(\frac{3}{2} \triangle \theta_z) \right)^2 6 \\ k_{sz\phi\phi} &= E_s^2 \frac{\varepsilon ab^3}{12d_{z0}^3} (6 \triangle \theta_z) \\ &\quad - E_s^2 \frac{(2C_{inp} + C_{zs})}{(C_{inp} + C_{zs})^2} \left(\frac{\varepsilon b^3}{12d_{z0}^2} \frac{2}{3} \sin(\frac{3}{2} \triangle \theta_z) \right)^2 6 \\ k_{szu\phi} &= -E_s^2 \frac{\varepsilon b^3}{12d_{z0}^3} (6 \triangle \theta_z) \\ &\quad + E_s^2 \frac{(2C_{inp} + C_{zs})}{(C_{inp} + C_{zs})^2} \left(\frac{\varepsilon b^2}{d_{z0}^2} \frac{2}{3} \sin(\frac{3}{2} \triangle \theta_z) \right)^2 6 \\ k_{bzuu} &= E_z^2 \frac{\varepsilon ab}{d_{z0}^3} (12 \triangle \theta_z) \end{aligned}$$

$$k_{bz\phi\phi} = E_z^2 \frac{\varepsilon ab^3}{12d_{z0}^3} (12 \triangle \theta_z)$$

$$k_{bz\phi\phi} = -E_z^2 \frac{\varepsilon b^3}{12d_{z0}^3} (12 \triangle \theta_z)$$

3. 링 자이로스코프의 운동방정식

3.1 운동방정식

자이로스코프의 각속도를 무시해서 Lagrange 방정식으로부터 얻어진 링 자이로스코프의 운동방정식은 다음과 같다.

$$\begin{aligned} M_{IC}\ddot{u}_{IC} + G_{IC}\dot{u}_{IC} + G_{CC}\dot{u}_{OC} + G_{CS}\dot{u}_{OS} \\ + K_{IC}u_{IC} - K_{IS}u_{IS} = a_{EI}\boldsymbol{\ell}_{\xi C} \\ M_{IC}\ddot{u}_{IS} + G_{IS}\dot{u}_{IC} - G_{CS}\dot{u}_{OC} + G_{CC}\dot{u}_{OS} \\ + K_{IS}u_{IC} + K_{IC}u_{IS} = a_{EI}\boldsymbol{\ell}_{\xi S} \quad (15) \\ M_{OC}\ddot{u}_{OC} + G_{OC}\dot{u}_{OC} - G_{CC}^T\dot{u}_{IC} + G_{CS}^T\dot{u}_{IS} \\ + K_{OC}u_{OC} - K_{OS}u_{OS} = a_{EO}\boldsymbol{\ell}_{\xi C} \\ M_{OC}\ddot{u}_{OS} + G_{OC}\dot{u}_{OS} - G_{CS}^T\dot{u}_{IC} - G_{CC}^T\dot{u}_{IS} \\ + K_{OS}u_{OC} + K_{OC}u_{OS} = a_{EO}\boldsymbol{\ell}_{\xi S} \end{aligned}$$

여기서

$$\begin{aligned} M_{IC} &= M_{RI} + \frac{N}{2}M_{LI}, \quad M_{OC} = M_{RO} + \frac{N}{2}M_{LO} \\ G_{IC} &= G_1 - G_1^T, \quad G_{OC} = G_4 - G_4^T \\ G_{CC} &= 2G_2, \quad G_{CS} = 2G_3 \\ K_{IC} &= K_{RIS} + \frac{N}{2}K_{LI} - K_{EI}, \quad K_{IS} = K_{RIA} \\ K_{OC} &= K_{ROS} + \frac{N}{2}K_{LO} - K_{EO}, \quad K_{OS} = K_{ROA} \end{aligned}$$

3.2 자유도 축소된 운동방정식

회전하지 않는 링 자이로스코프의 운동방정식은 면내운동과 면외운동으로 분리된다. 이 때 면내 및 면외 고유진동은 구조의 순환대칭성으로 인하여 모든 고유진동수에 대하여 서로 직각인 두개의 고유모드를 갖는다.

최저차 면내고유진동수 ω_ξ 에 대한 고유모드를 이용하여 면내운동의 자유도를 축소하면 다음과 같다.

$$\begin{Bmatrix} u_{IC} \\ u_{IS} \end{Bmatrix} = \begin{Bmatrix} z_{IC} \\ z_{IS} \end{Bmatrix} u_{\xi C} + \begin{Bmatrix} -z_{IS} \\ z_{IC} \end{Bmatrix} u_{\xi S} \quad (16)$$

여기서

$$z_{IC} = (1, z_{u\eta C}, z_{\phi\xi C})^T, \quad z_{IS} = (0, z_{u\eta S}, z_{\phi\xi S})^T$$

$$\begin{bmatrix} K_{IC} & -K_{IS} \\ K_{IS} & K_{IC} \end{bmatrix} \begin{Bmatrix} z_{IC} \\ z_{IS} \end{Bmatrix} = \omega_\xi^2 \begin{bmatrix} M_{IC} & 0 \\ 0 & M_{IC} \end{bmatrix} \begin{Bmatrix} z_{IC} \\ z_{IS} \end{Bmatrix}$$

최저차 면외고유진동수 ω_ξ 에 대한 고유모드를 이용하여 면외운동의 자유도를 축소하면 다음과 같다.

$$\begin{Bmatrix} u_{OC} \\ u_{OS} \end{Bmatrix} = \begin{Bmatrix} z_{OC} \\ z_{OS} \end{Bmatrix} u_{\xi C} + \begin{Bmatrix} -z_{OS} \\ z_{OC} \end{Bmatrix} u_{\xi S} \quad (17)$$

여기서

$$z_{OC} = (1, z_{\phi\xi C}, z_{\phi\eta C})^T,$$

$$z_{OS} = (0, z_{\phi\xi S}, z_{\phi\eta S})^T$$

$$\begin{bmatrix} K_{OC} & -K_{OS} \\ K_{OS} & K_{OC} \end{bmatrix} \begin{Bmatrix} z_{OC} \\ z_{OS} \end{Bmatrix} = \omega_\xi^2 \begin{bmatrix} M_{OC} & 0 \\ 0 & M_{OC} \end{bmatrix} \begin{Bmatrix} z_{OC} \\ z_{OS} \end{Bmatrix}$$

링 자이로스코프의 운동방정식의 자유도를 상기와 같이 축소하고 모달 감쇠를 추가하여 운동방정식을 단위질량행렬로 표현하면 다음과 같다.

$$\begin{aligned} \ddot{u}_{\xi C} + (\lambda_1 Q_y + \lambda_2 Q_x) \dot{u}_{\xi C} - (\lambda_1 Q_x - \lambda_2 Q_y) \dot{u}_{\xi S} \\ - \lambda_3 Q_z \dot{u}_{\xi S} + 2\xi_\xi \omega_\xi \dot{u}_{\xi C} + \omega_\xi^2 u_{\xi C} = f_{\xi C} \\ \ddot{u}_{\xi S} + (\lambda_1 Q_x - \lambda_2 Q_y) \dot{u}_{\xi C} + (\lambda_1 Q_y + \lambda_2 Q_x) \dot{u}_{\xi S} \\ + \lambda_3 Q_z \dot{u}_{\xi C} + 2\xi_\xi \omega_\xi \dot{u}_{\xi S} + \omega_\xi^2 u_{\xi S} = f_{\xi S} \\ \ddot{u}_{\xi C} - (\lambda_1 Q_y + \lambda_2 Q_x) \dot{u}_{\xi C} - (\lambda_1 Q_x - \lambda_2 Q_y) \dot{u}_{\xi S} \\ + 2\xi_\xi \omega_\xi \dot{u}_{\xi C} + \omega_\xi^2 u_{\xi C} = f_{\xi C} \\ \ddot{u}_{\xi S} + (\lambda_1 Q_x - \lambda_2 Q_y) \dot{u}_{\xi C} - (\lambda_1 Q_y + \lambda_2 Q_x) \dot{u}_{\xi S} \\ + 2\xi_\xi \omega_\xi \dot{u}_{\xi S} + \omega_\xi^2 u_{\xi S} = f_{\xi S} \quad (18) \end{aligned}$$

여기서

$$\lambda_1 = \frac{m_1}{m_\xi}, \quad \lambda_2 = \frac{m_2}{m_\xi}, \quad \lambda_3 = \frac{m_3}{m_\xi}$$

$$\lambda'_1 = \frac{m_1}{m_\zeta}, \quad \lambda'_2 = \frac{m_2}{m_\zeta}$$

$$\begin{aligned}
f_{\xi C} &= \frac{F_{\xi C}}{m_\xi}, \quad f_{\xi S} = \frac{F_{\xi S}}{m_\xi}, & F_{\xi C} &= Q_{\xi C} \cos \omega_\xi t \\
f_{\zeta C} &= \frac{F_{\zeta C}}{m_\zeta}, \quad f_{\zeta S} = \frac{F_{\zeta S}}{m_\zeta}, & F_{\zeta C} &= Q_{\zeta C} \cos \omega_\zeta t \\
\omega_\xi &= \sqrt{\frac{k_\xi}{m_\xi}}, \quad \omega_\zeta = \sqrt{\frac{k_\zeta}{m_\zeta}} & F_{\xi S} &= Q_{\xi S} \cos \omega_\xi t \\
m_\xi &= z_{IC}^T M_{IC} z_{IC} + z_{IS}^T M_{IS} z_{IS} & \text{여기서} \\
m_\zeta &= z_{OC}^T M_{OC} z_{OC} + z_{OS}^T M_{OC} z_{OS} & Q_{\xi C} &= 2m_\xi \xi \omega_\xi^2 U_{\xi C}, \quad Q_{\xi S} = m_\xi \lambda_3 \Omega_z \omega_\xi U_{\xi C} \\
k_\xi &= z_{IC}^T K_{IC} z_{IC} + z_{IS}^T K_{IC} z_{IS} - z_{IC}^T K_{IS} z_{IS} + z_{IS}^T K_{IS} z_{IC} & Q_{\zeta C} &= -m_\zeta (\lambda_1 \Omega_y + \lambda_2 \Omega_x) \omega_\zeta U_{\zeta C} \\
k_\zeta &= z_{OC}^T K_{OC} z_{OC} + z_{OS}^T K_{OC} z_{OS} & Q_{\zeta S} &= m_\zeta (\lambda_1 \Omega_x - \lambda_2 \Omega_y) \omega_\zeta U_{\zeta C} \\
&- z_{OC}^T K_{OS} z_{OS} + z_{OS}^T K_{OS} z_{OC} & \text{따라서 링 사이로스코프의 각속도는 다음과 같은} \\
m_1 &= \pi \rho A a \{ 1 + z_{u\eta S} + \mu_\zeta a^2 (z_{\phi\eta S} z_{\phi\xi C} - z_{\phi\eta S} z_{\phi\xi S}) \} & \text{식을 사용하여 측정된다.} \\
m_2 &= \pi \rho A a \{ -z_{u\eta C} + \mu_\xi a^2 (z_{\phi\eta C} z_{\phi\xi C} + z_{\phi\eta S} z_{\phi\xi S}) \} \\
m_3 &= \pi \rho A a \{ -4z_{u\eta S} \} \\
F_{\xi C} &= a_\xi e_{\xi C}, \quad F_{\xi S} = a_\xi e_{\xi S} & \Omega_x &= \frac{2m_\xi \xi \omega_\xi}{m_\xi (\lambda_1^2 + \lambda_2^2)} \left\{ \lambda_1 \left(\frac{Q_{\xi S}}{Q_{\xi C}} \right) - \lambda_2 \left(\frac{Q_{\zeta C}}{Q_{\xi C}} \right) \right\} \\
F_{\zeta C} &= a_{\zeta 1} e_{\zeta C} + a_{\zeta 2} e_{\zeta S}, & \Omega_y &= \frac{2m_\zeta \zeta \omega_\zeta}{m_\zeta (\lambda_1^2 + \lambda_2^2)} \left\{ -\lambda_1 \left(\frac{Q_{\xi C}}{Q_{\xi S}} \right) - \lambda_2 \left(\frac{Q_{\zeta S}}{Q_{\xi S}} \right) \right\} \\
F_{\xi S} &= -a_{\zeta 1} e_{\zeta C} + a_{\zeta 1} e_{\zeta S} & \Omega_z &= \frac{2\xi \omega_\xi}{\lambda_3} \left(\frac{Q_{\xi S}}{Q_{\xi C}} \right) \\
a_{\zeta 1} &= a_{\zeta u} + z_{\phi\eta C} a_{\zeta \phi}, \quad a_{\zeta 2} = z_{\phi\eta S} a_{\zeta \phi} & (21)
\end{aligned}$$

ξ , ζ 는 면내 및 면외 고유진동수 ω_ξ , ω_ζ 에 대한 모달 감쇠계수이다.

감지 출력전압은 다음과 같다.

$$\begin{aligned}
e_{sa} &= b_\xi u_{\xi C} \\
e_{sb} &= b_\xi u_{\xi S} \\
e_{sc} &= -b_{\zeta 1} u_{\zeta C} + b_{\zeta 2} u_{\zeta S} \\
e_{sd} &= -b_{\zeta 2} u_{\zeta C} - b_{\zeta 1} u_{\zeta S}
\end{aligned} \tag{19}$$

여기서

$$b_\xi = b_{\xi u}, \quad b_{\zeta 1} = b_{\zeta u} - z_{\phi\eta C} b_{\zeta \phi}, \quad a_{\zeta 2} = -z_{\phi\eta S} b_{\zeta \phi}$$

3.3 링 사이로스코프의 각속도 측정

$F_{\xi C}$, $F_{\xi S}$, $F_{\zeta C}$, $F_{\zeta S}$ 를 제어하여 $u_{\xi C}$ 의 진폭이 일정하게 되도록 하면서 $u_{\xi S}$, $u_{\zeta C}$, $u_{\zeta S}$ 의 진폭이 영이 되도록 할 때, 다음과 같은 식이 얻어진다.

$$u_{\xi C} = U_{\xi C} \sin \omega_\xi t$$

상기와 같은 재평형력 측정에 의한 각속도 측정방법은 각속도가 시간에 따라서 빠르게 변하는 경우에도 각속도의 응답 지연시간을 필요로 하지 않는다.

4. 링 사이로스코프의 통특성 해석

4.1 물성치 및 크기

링과 지지대의 재질은 실리콘으로 수치해석에서 다음과 같은 물성치 및 크기를 사용하였다.

$$N=8, E=180 \text{ GPa}, \nu=0.28, \rho=2340 \text{ kg/m}^3$$

$$a=2000 \mu\text{m}, b=64 \mu\text{m}(\text{변경가능}),$$

$$t=25 \mu\text{m}, h=5 \mu\text{m},$$

$$L_1=125 \mu\text{m}, L_2=500 \mu\text{m}, L_3=125 \mu\text{m}$$

전극의 특성치는 다음과 같다.

$$d_{r0}=4 \mu\text{m}, d_{z0}=4 \mu\text{m}, \Delta \theta_r=9^\circ, \Delta \theta_z=6^\circ$$

$$\epsilon=8.85 \text{ pF/m}, E_p=10 \text{ V}, E_{bias}=5 \text{ V},$$

$$C_{inp}=50 \text{ fF}, E_z=10 \text{ V}, E_r=10 \text{ V}(\text{변경가능})$$

4.2 고유진동수

링 단면중심 C 점에 축약된 지지대 한 개의 면내 및 면외 질량행렬과 면내 및 면외 강성행렬은 지지대를 8개의 보 요소로 모델링해서 Guyan 자유도 축소 방법을 사용하여 얻어진다.

링의 굽힘 전단, 인장 및 회전관성을 무시하는 경우에, 지지대로 지지되지 않는 자유 링의 절직경수 $n=2$ 의 면내 고유진동수와 절직경수 $m=3$ 의 면외 고유진동수가 일치하기 위해서는 b/t 가 약 2.854가 되어야 한다.^(5,6)

$b=71.35 \mu\text{m}$ 일 때에는 자유 링의 면내 및 면외 고유진동수는 각각 19,287 Hz, 19,287 Hz이다. 이 때 지지대의 질량 및 굽힘 전단을 무시하는 경우에는 지지 링의 면내 및 면외 고유진동수는 각각 21,290 Hz, 19,694 Hz이다.

지지 링의 면내 및 면외 고유진동수가 일치하기 위해서는 $b=63.9387 \mu\text{m}$ 가 되어야 한다. 이 때의 고유진동수는 각각 19,715.4 Hz, 19,715.4 Hz이다.

b 의 수치를 μm 단위에서 반올림하여 $b=64 \mu\text{m}$ 로 정하면 지지 링의 면내 및 면외 고유진동수는 각각 19,728 Hz, 19,715 Hz가 되어 면내 및 면외 고유진동수가 일치하지 않게 된다. 전극의 스프링 효과를 고려한 경우에는 링 자이로스코프의 면내 및 면외 고유진동수는 각각 19,698 Hz, 19,623 Hz이다.

링의 굽힘 전단, 인장 및 회전관성과 지지대의 질량 및 굽힘 전단을 고려하는 경우에, $b=64 \mu\text{m}$ 일 때 링 자이로스코프의 면내 및 면외 고유진동수는 전극의 스프링 효과를 무시하는 경우에는 각각 19,623 Hz, 19,596 Hz이고, 전극의 스프링 효과를 고려하는 경우에는 각각 19,535 Hz, 19,504 Hz이다.

링 자이로스코프의 면내 및 면외 고유진동수가 일치되도록 하기 위하여 E_r 를 10 V로 고정하고 E_z 를 조정하면 E_z 가 7.06 V일 때 고유진동수는 각각 19,535 Hz이다.

E_r 를 0 V로 고정하고 E_z 를 조정하는 경우에는 E_z 가 4.27 V일 때 링 자이로스코프의 면내 및 면외 고유진동수가 일치하게 되고 고유진동수는 19,554 Hz이다.

4.3 방정식 매개변수

$E_r=10 \text{ V}$, $E_z=7.06 \text{ V}$ 일 때, 링의 굽힘 전단,

Table 1 Equation parameters. Unit :kg, m, s, C

Characteristic	Case	Consider	Neglect
ω_ξ		1.22741×10^5	1.23764×10^5
ω_ζ		1.22741×10^5	1.23486×10^5
m_ξ		2.98575×10^{-8}	2.94053×10^{-8}
m_ζ		2.38046×10^{-8}	2.35242×10^{-8}
λ_1		3.94097×10^{-1}	4.00000×10^{-1}
λ_2		1.55450×10^{-5}	0
λ_3		1.57583×10^0	1.60000×10^0
λ'_1		4.94307×10^{-1}	5.00000×10^{-1}
λ'_2		1.94977×10^{-5}	0
a_ξ		-1.75825×10^{-7}	-1.75825×10^{-7}
$a_{\xi 1}$		4.43087×10^{-7}	4.43087×10^{-7}
$a_{\xi 2}$		2.54659×10^{-13}	2.55496×10^{-13}
b_ξ		3.24855×10^5	3.24855×10^5
$b_{\xi 1}$		5.45768×10^5	5.45768×10^5
$b_{\xi 2}$		3.13673×10^{-1}	3.14704×10^{-1}

인장 및 회전관성과 지지대의 질량 및 굽힘 전단을 고려하는 경우와 무시하는 경우에 대하여 계산된 링 자이로스코프 방정식 매개변수의 값들은 Table 1에서와 같다.

5. 결 론

본 논문에서는 링을 가진하거나 링의 변위를 감지하고 고유진동수의 균형을 잡는 전극의 정전효과를 고려하면서 링의 굽힘 전단, 인장 및 회전관성과 지지대의 질량 및 굽힘 전단을 고려한 마이크로 3축 링 자이로스코프의 운동방정식을 체계적으로 유도하여 동역학 특성을 해석하였다.

링의 크기를 정할 때 반올림 오차 때문에 필연적으로 발생하여 회전속도의 민감도를 떨어지게 하는 면내 및 면외 고유진동수의 차이를 합리적인 범위 내에서 균형전극의 전압차를 조정하여 줄일 수 있었다.

또한, 제시된 링 자이로스코프에 관해서 링의 굽힘 전단, 인장 및 회전관성과 지지대의 질량 및 굽힘 전단을 고려한 방정식 매개변수의 값들을 계산하였고 상기의 효과를 무시하여 계산한 결과와 비교하였다.

참 고 문 헌

- (1) Yazdi, N., Ayazi, F. and Najafi, K., 1998, "Micromachined Inertial Sensors," Proc. IEEE, Vol. 86, No. 8, pp. 1640~1659.
- (2) Putty, M. W. and Najafi, K., 1994, "A Micromachined Vibrating Ring Gyroscope," Tech. Dig. Solid-state Sensor and Actuator Workshop, Hilton Head Island, SC, pp. 213~220.
- (3) Putty, M. W., 1995, "A Micromachined Vibrating Ring Gyroscope," Ph. D. Thesis, University of Michigan, Ann Arbor.
- (4) Eley, R., Fox, C. H. J. and McWilliam, S., 2000, "Coriolis Coupling Effects on the Vibration of Rotating Rings," Journal of Sound and Vibration, Vol. 238, No. 3 pp. 459~480.
- (5) Gallacher, B. J., Burdess, J. S., Harris, A. J. and McNie, M. E., 2001, "Principles of a Three-axis Vibrating Gyroscope," IEEE Transactions on Aerospace and Electronic Systems, Vol. 37, No. 4, pp. 1333~1343.
- (6) 김창부, 최상현, 2002, "마이크로 3축 링 자이로스코프의 동역학," 한국소음진동공학회논문집, 제 12 권, 제 12 호, pp. 1001~1009.